

سنگ‌شناسی و زمین‌شیمی سنگ‌های آتشفسانی مناطق چشم‌های خوری و شکسته‌سierz، خور (شمال باختری بیرون ایران)

مریم جاویدی مقدم^۱، محمدحسن کریم‌پور^{۲*}، خسرو ابراهیمی نصرآبادی^۲، آزاده ملکزاده شفارودی^۲
و محمدرضا حیدریان‌شهری^۲

^۱ گروه زمین‌شناسی، دانشکده علوم، دانشگاه فردوسی مشهد، مشهد، ایران

^۲ گروه پژوهشی اکتشافات ذخایر معدنی خاور ایران، دانشگاه فردوسی مشهد، مشهد، ایران

چکیده

محدوده خور در خاور ایران و شمال باختر بیرون از دارد. این محدوده دارای بروزدهایی از سنگ‌های آتشفسانی افسون-الیگومن با ترکیب آندزیت‌بازالتی تا ریولیتی است که سنگ‌های آذرین نیمه‌دروندی و درونی گرانودیبوریتی تا گابرویی در آنها نفوذ کرده‌اند. در این پژوهش، سنگ‌زایی (پتروژنز) سنگ‌های آتشفسانی مناطق چشم‌های خوری و شکسته‌سierz که در محدوده خور بیشترین گسترش را دارند، بررسی شده است. سنگ‌های ریولیت، داسیت، آندزیت، تراکی آندزیت و آندزیت‌بازالتی در منطقه چشم‌های خوری و تراکی آندزیت در منطقه شکسته‌سierz شناسایی شدند. بافت بیشتر این سنگ‌ها پورفیری، هیالوپورفیری و میکرولیتی است و دارای کانی‌های پلازیوکلаз، اوژیت، آلکالی‌فلدسبار، هورنبلند، بیوتیت و کوارتز هستند. سنگ‌های آتشفسانی چشم‌های خوری سرشت کالک‌آلکالن با پتاسیم بالا دارند. غنی‌شدگی عنصر LILE در برابر REE‌ها در نسبت $^{87}\text{Sr}/^{86}\text{Sr}$ در سنگ‌های HFSE نشان می‌دهد که این سنگ‌ها در پهنه ماقمایی فرورانش پدید آمده‌اند. نسبت ایزوتوپ اولیه $^{87}\text{Sr}/^{86}\text{Sr}$ در سنگ‌های آندزیتی و داسیتی نشان‌دهنده پیدایش ماقمای آنها از ذوب‌بخشی گوشته غنی‌شده‌ای است که در هنگام تفریق، دچار آسودگی پوسته‌ای شده است. تراکی آندزیت‌های شکسته‌سierz سرشت شوشونیتی دارند. این سنگ‌ها دارای نسبت بالای $\text{FeO}^{+}/\text{FeO}^{*}$ و MgO و نیز $\text{K}_2\text{O}/\text{Na}_2\text{O}$ و $\text{Ce}^{+}/\text{Ce}^{*} > 10$ ppm و $\text{Y}^{+}/\text{Y}^{*} > 39$ ppm و $\text{Zr}^{+}/\text{Zr}^{*} > 360$ ppm هستند. همچنان، دارای غنی‌شدگی شدید از عناصر LREE، تهی‌شدگی از Eu و کاهش در Ba و Sr هستند. تراکی آندزیت‌های منطقه شکسته‌سierz در محدوده آتشفسانی‌های پس از برخورد جای می‌گیرند.

واژه‌های کلیدی: زمین‌شیمی، پهنه فروزانش، پهنه کششی، چشم‌های خوری، شکسته‌سierz، شمال بلوك لوت

مقدمه
محدوده چشم‌های خوری، در خاور ایران و در گستره‌ای عرض‌های جغرافیایی^۱ ۳۳°۱۵' تا ۳۳°۸' شمالی و در بین طول‌های جغرافیایی^۱ ۵۸°۲۰' تا ۵۸°۲۷' خاوری و

* karimpur@um.ac.ir

Copyright©2016, University of Isfahan. This is an Open Access article distributed under the terms of the Creative Commons Attribution License (<http://creativecommons.org/licenses/BY-NC-ND/4.0>), which permits others to download this work and share it with others as long as they credit it, but they cannot change it in any way or use it commercially.

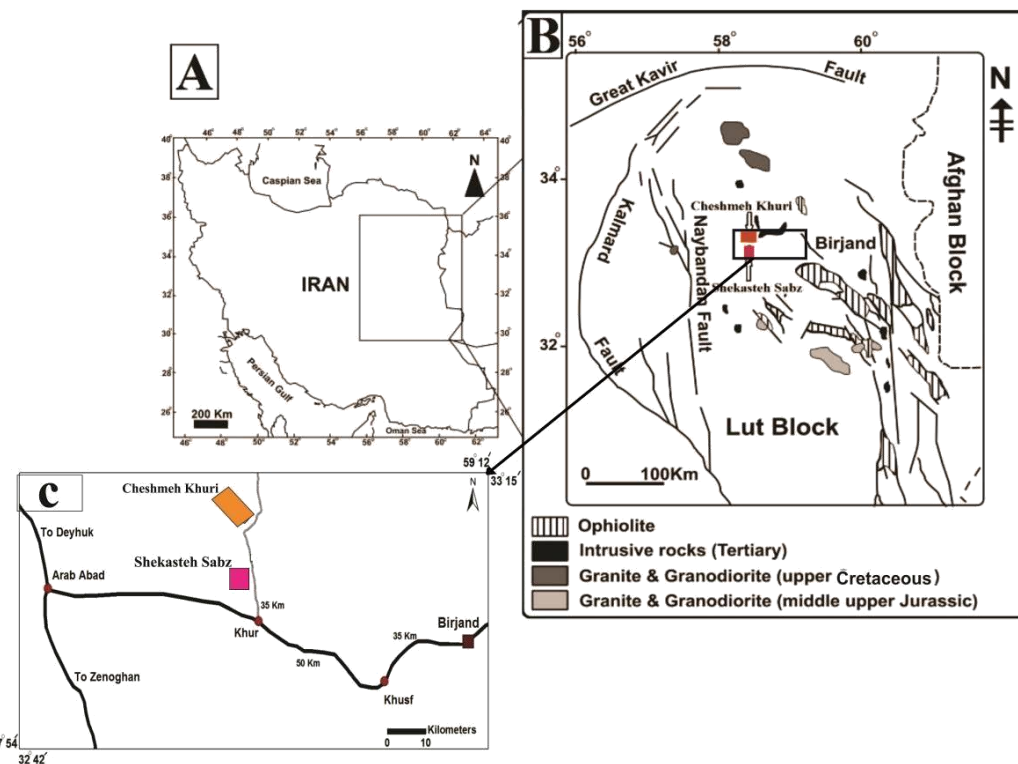
بر روی توده‌های آذرین نیمه‌درونی و آتشفسانی بلوک لوت انجام شده است که از میان آنها می‌توان مناطق طبس (Hashemi *et al.*, 2007) چاه شلمجی Moradi (Arjmandzadeh *et al.*, 2011)، نجم‌آباد (Noghondar *et al.*, 2012)، ماهرآباد و خوپیک (Malekzadeh Shafaroudi *et al.*, 2010)، شمال خاور (Malekzadeh Shafaroud *et al.*, 2014) و نایبند (Hamooni *et al.*, 2013) را نام برد.

محدوده شمال روستای خور به علت حجم بزرگ سنگ‌های آتشفسانی ترسیری، رویداد کانی‌سازی‌های رگه‌ای نوع سرب، روی و مس (شورک) و مس (در Javidi Moghaddam *et al.*, 2014) (شکل ۱)، حوض دغ، مهرخش، رشیدی و غارکفتری، کائولن (چشم‌خوری)، وجود حفاری‌های قدیمی و سرباره‌های فراوان، سیستم شکستگی‌ها و نفوذ دایک‌های فراوان دارای اهمیت است.

فاصله ۸۵ کیلومتری شمال باخته بیرجند و ۱۸ کیلومتری شمال روستای خور در استان خراسان جنوبی جای دارد. محدوده شکسته‌سبز نیز در گستره‌ای میان طول‌های جغرافیایی $58^{\circ}19'$ تا $58^{\circ}31'$ و عرض‌های جغرافیایی $33^{\circ}0'5''$ تا $33^{\circ}0'1''$ شمالی و در فاصله ۶ کیلومتری شمال روستای خور است (شکل‌های A-۱ تا C). از دید پنهانه‌بندی‌های ساختاری، محدوده‌های چشم‌خوری و شکسته‌سبز در شمال بلوک

لوت جای دارند (Jung *et al.*, 1983).

از ویژگی‌های مهم بلوک لوت، مagmaتیسم گستردگی آن، بهویژه در بخش‌های شمالی است که از ژوراسیک آغاز شده و در ترسیری به اوج خود رسیده است؛ به‌گونه‌ای که ضخامت سنگ‌های ترسیری، بهویژه انواع، به 2000 متر می‌رسد (Jung *et al.*, 1983; Karimpour *et al.*, 2011) در سال‌های پیشین، بررسی‌های سنگ‌زایی (پتروزنزی) و سن‌سنجدی فراوانی



شکل ۱- جایگاه جغرافیایی مناطق اکتشافی چشم‌خوری و شکسته‌سبز در: (A) خاور ایران؛ (B) شمال بلوک لوت (Tarkian *et al.*, 1983) راههای دسترسی به چشم‌خوری و شکسته‌سبز.

شکسته‌سبز گسترش بسیاری دارند. این دو منطقه بخشی از محدوده خور هستند (شکل ۱). در منطقه چشمه‌خوری سنگ‌های آذرآواری توف برش‌آندرزیتی، توف برش اسیدی و توف اسیدی به صورت توالی‌های لایه‌ای جای گرفته‌اند. سنگ‌های آتشفشاری در بخش بالایی سنگ‌های آذرآواری جای گرفته و سنگ‌های آذرین درونی و نیمه‌دروني، با ترکیب گرانودیوریتی تا گابروپی، در آنها نفوذ کرده‌اند (شکل ۲). بر پایه بررسی‌های صحرایی و میکروسکوپی، ریولیت، داسیت، آندزیت، تراکی آندزیت و آندزیت‌بازالتی با بافت‌های پورفیری، میکرولیتی و هیالوپورفیری از سنگ‌های آتشفشاری این منطقه هستند. آندزیت، در برابر سنگ‌های آتشفشاری دیگر، بیشترین گسترش، و آندزیت‌بازالتی کمترین گسترش را در منطقه چشمه‌خوری نشان می‌دهند (شکل ۲). آندزیت‌بازالتی در رخنمون‌های سطحی دارای حفرات گرد تا بادامکی با اندازه‌ای نزدیک به ۲ میلیمتر بوده که با کانی‌های دگرسانی، مانند کلریت، کوارتز و کلسیت پر شده و ساخت بادامکی را پدید آورده‌اند. بافت بادامکی نشان‌دهنده میزان چشمگیر سیال در ماقماست. کاهش فشار در هنگام بالا آمدن و گرانروی کم ماقما مایه به هم‌پیوستن سیال‌ها در بالای ستون ماقما مایی، رویداد فوران و در پایان پیدایش سنگ‌های حفره‌دار می‌شود (Barker, 1983). در برخی بخش‌ها، جریان‌های داسیتی نیز ساخت لایه‌ای نشان می‌دهند. در منطقه شکسته‌سبز توف برش‌آندرزیتی و توف برش اسیدی برونزد دارند و به صورت توالی‌های لایه‌ای جای گرفته‌اند. سنگ‌های آتشفشاری در بخش بالای آن جای گرفته‌اند و سنگ‌های آذرین نیمه‌دروني با ترکیب گرانودیوریتی تا مونزونیتی در آنها نفوذ کرده است (شکل ۳). بر پایه بررسی‌های صحرایی و میکروسکوپی، هورنبلند آندزیت و تراکی آندزیت با بافت‌های پورفیری، میکرولیتی و تراکیتی از سنگ‌های آتشفشاری این منطقه هستند.

از بررسی‌های انجام شده پیشین در منطقه می‌توان پژوهش‌های Jung و همکاران (۱۹۸۳) درباره ماقما تیسم ترسیری در شمال لوت، تهیه نقشه ۱:۱۰۰۰۰۰ منطقه به دست Lotfi (۱۹۹۵)، پژوهش‌های اکتشاف نیمه‌تفصیلی و تفصیلی مواد معدنی در شهرستان سرایان به دست سازمان صنعت، معدن و تجارت خراسان جنوبی را نام برد. منطقه شکسته‌سبز و مهرخش نیز بخشی از این پژوهش‌های اکتشافی بوده‌اند (Abbasi Niazabadi, 2007, 2008) به پژوهش درباره کانی‌سازی آهن و مس در میان مناطق Mir Baloch شکسته‌سبز و مهرخش پرداخته است. Mir Baloch (۲۰۱۲) و Ya Hosseini (۲۰۱۲) به ترتیب کانی‌سازی و Salim (۲۰۱۲) به بررسی زمین‌شیمی و شناسایی پهنه زمین‌ساختی سنگ‌های آتشفشاری و آذرین نیمه‌دروني پرداخته است. Kaviani Sadr (۲۰۱۲) نیز به پژوهش‌های ساختاری در بخش مرکزی منطقه چشمه‌خوری پرداخته است؛ اما تاکنون پژوهش‌های سنگ‌شناسی درباره سنگ‌های آتشفشاری منطقه شکسته‌سبز انجام نشده است. از این‌رو، این پژوهش با هدف بررسی زمین‌شیمی و شناسایی پهنه زمین‌ساختی سنگ‌های آتشفشاری شکسته‌سبز و گستره وسیع‌تری از سنگ‌های آتشفشاری محدوده چشمه‌خوری (شکل ۱) و مقایسه این دو محدوده انجام شده است.

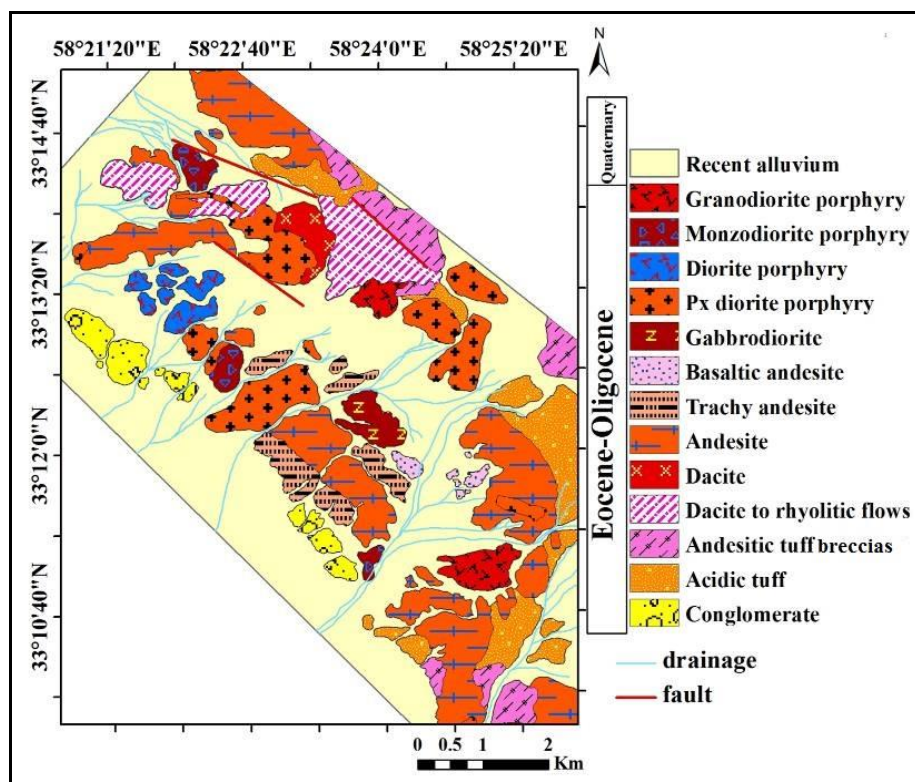
زمین‌شناسی منطقه

محدوده خور در شمال باختر بیرونی و در برگه ۱/۲۵۰۰۰ بشرویه (Stocklin and Nabavi, 1969) و Lotfi, 1/۱۰۰۰۰ سارغنج (1995) جای دارد. کهن‌ترین واحد سنگی که در منطقه شکسته‌سبز و چشمه‌خوری برونزد دارد کنگلومرات ژوراسیک است (Lotfi, 1995). سنگ‌های آتشفشاری با سن ائوسن-الیگوسن در مناطق چشمه‌خوری و

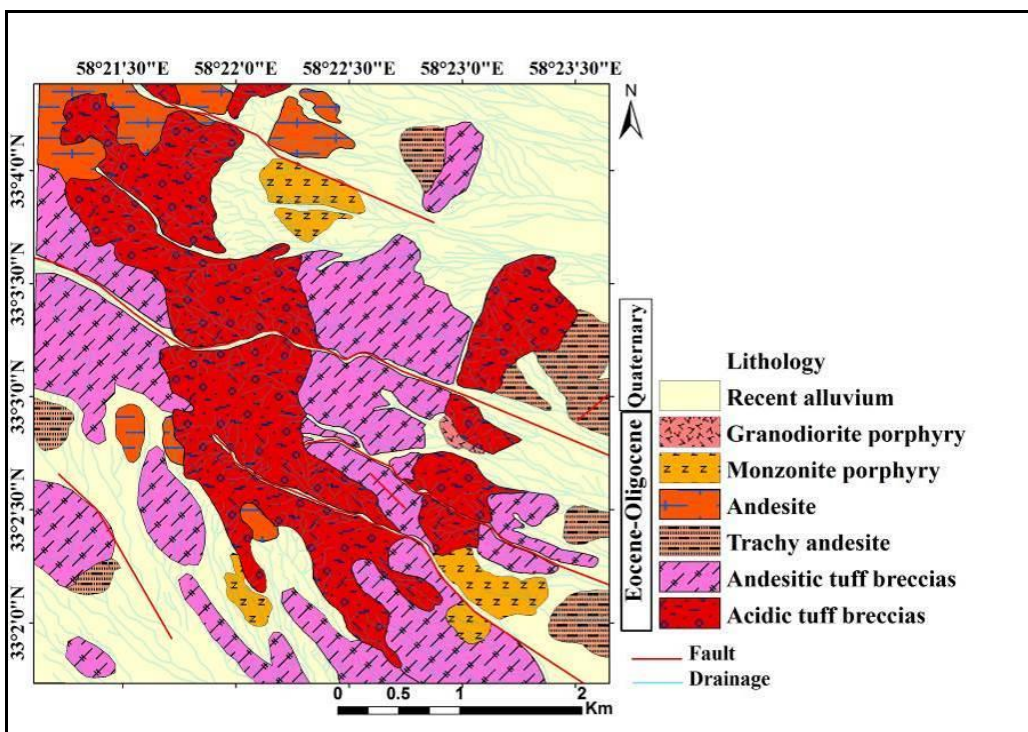
پژوهش‌های سنگ‌نگاری نشان می‌دهد که بیشتر این سنگ‌ها دچار دگرسانی آرژیلیکی و پروپیلیتیکی شده‌اند. نمونه‌ها پس از خردایش و آماده‌سازی، برای اندازه‌گیری اکسیدهای اصلی به روش فلوروسانس پرتو X (XRF)، در شرکت طیف‌کانسaran بینالود مشهد تجزیه شد. همچنین، همین نمونه‌ها برای تجزیه عناصر فرعی و خاکی نادر به آزمایشگاه ACME کانادا فرستاده و به روش پلاسمای جفت‌شده القایی (ICP-MS)، روش محلول‌سازی ذوب قلیایی تجزیه شدند (جدول ۱). برای ICP-MS تفسیر زمین‌شیمیایی دقیق‌تر از داده‌های به دست Salim (۲۰۱۲) که در بخش مرکزی منطقه چشمه‌خوری انجام شده نیز بهره گرفته شد (جدول ۱). Lotfi همچنین، از داده‌های ایزوتوبی Rb-Sr به دست (۱۹۸۲) که در گستره بزرگی از مناطق سوراب، قلعه چاه و شمال باختر خور انجام شده است (منطقه چشمه‌خوری نیز بخشی از این بررسی بوده است) بهره گرفته شد.

روش انجام پژوهش

در راستای تهیه نقشه زمین‌شناسی از دو منطقه چشمه‌خوری و شکسته‌سierz، نخست برداشت‌های صحرایی و نمونه‌برداری از سنگ‌های آتش‌شسانی در منطقه چشمه‌خوری (با گستردگی نزدیک به ۵۰ کیلومتر مربع) و منطقه شکسته‌سierz (با گستردگی نزدیک به ۲۰ کیلومتر مربع) انجام شد. بیش از ۴۰۰ نمونه از سطح منطقه گردآوری شد و از میان آنها، در منطقه چشمه‌خوری نزدیک به ۱۲۰ نمونه مقطع نازک از سنگ‌های آتش‌شسانی و در منطقه شکسته‌سierz ۸۰ نمونه مقطع نازک تهیه و بررسی شدند. سپس نقشه زمین‌شناسی هر دو منطقه با نرم‌افزار ArcGIS تهیه شد. پس از بررسی‌های سنگ‌نگاری ۱۰ نمونه با کمترین میزان دگرسانی و هوازدگی برای بررسی‌های سنگ‌شناسی برگزیده شدند. در منطقه شکسته‌سierz از آن‌زیست با اینکه گسترش بسیاری دارد؛ اما نمونه خوبی برای بررسی‌های سنگ‌شناسی یافت نشد؛ زیرا



شکل ۲- نقشه زمین‌شناسی منطقه چشمه‌خوری (شمال باختری بیرجند، خاور ایران)



شکل ۳- نقشه زمین‌شناسی منطقه شکسته‌سوز (شمال باختری بیرجند، خاور ایران).

حجمی)، پیروکسن (۱۵-۱۰ درصد حجمی)، هورنبلند (۵-۱۰ درصد حجمی) و کانی‌های کدر (۵ درصد حجمی) ساخته شده است.

آندزیت: بافت این سنگ‌ها بیشتر پورفیری است. در این سنگ‌ها، بافت ارتوفیری نیز در برخی بخش‌ها دیده می‌شود. در بافت ارتوفیری پلاژیوکلاز بلورهای مستطیلی کوتاه، ضخیم و بدون جهت یافتگی هستند. این سنگ‌ها نزدیک به ۲۰ تا ۲۵ درصد حجمی درشت‌بلور دارند. این بلورها شامل پلاژیوکلاز تا ۱ میلیمتر (۱۰ تا ۴ درصد حجمی)، هورنبلند تا اندازه ۰/۶ میلیمتر (۴ تا ۵ درصد حجمی)، بیوتیت تا اندازه ۰/۲ میلیمتر (۳ تا ۵ درصد حجمی) و پیروکسن تا اندازه ۰/۵ میلیمتر (۲ تا ۳ درصد حجمی) هستند. زمینه سنگ از پلاژیوکلازهای دانه‌ریز و کانی‌های کدر با اندازه نزدیک به ۰/۴ میلیمتر است (شکل ۴-B). پلاژیوکلازها آندزین-لابرادوریت هستند و گاه با

سنگ‌نگاری

(الف) سنگ‌نگاری سنگ‌های آتشفشاری در منطقه چشم‌خوری

آندزیت بازالتی: بافت این سنگ‌ها بیشتر پورفیری است. همچنین، بافت‌های گلومرپورفیری و میکرولیتی در برخی بخش‌ها دیده می‌شود. این سنگ‌ها کمتر از سنگ‌های دیگر دگرسانی شده‌اند. این سنگ‌ها نزدیک به ۲۵ تا ۳۰ درصد حجمی درشت‌بلور دارند. این کانی‌ها عبارتند از: پلاژیوکلازها تا اندازه ۰/۷ میلیمتر (۱۰-۱۵ درصد حجمی) و از نوع الیگوکلاز با ماکل پلی‌سنتتیک و منطقه‌بندی نوسانی؛ پیروکسن تا اندازه ۰/۴ میلیمتر (۷-۵ درصد حجمی) با ماکل کارلسbad؛ هورنبلند تا اندازه ۰/۳ میلیمتر (۳ تا ۵ درصد حجمی) (شکل ۴-A)؛ الیوین تا اندازه ۰/۴-۰/۶ میلیمتر (۳-۲ درصد حجمی) با آثار خوردگی خلیجی. زمینه سنگ از پلاژیوکلاز (۳۵-۴۰ درصد

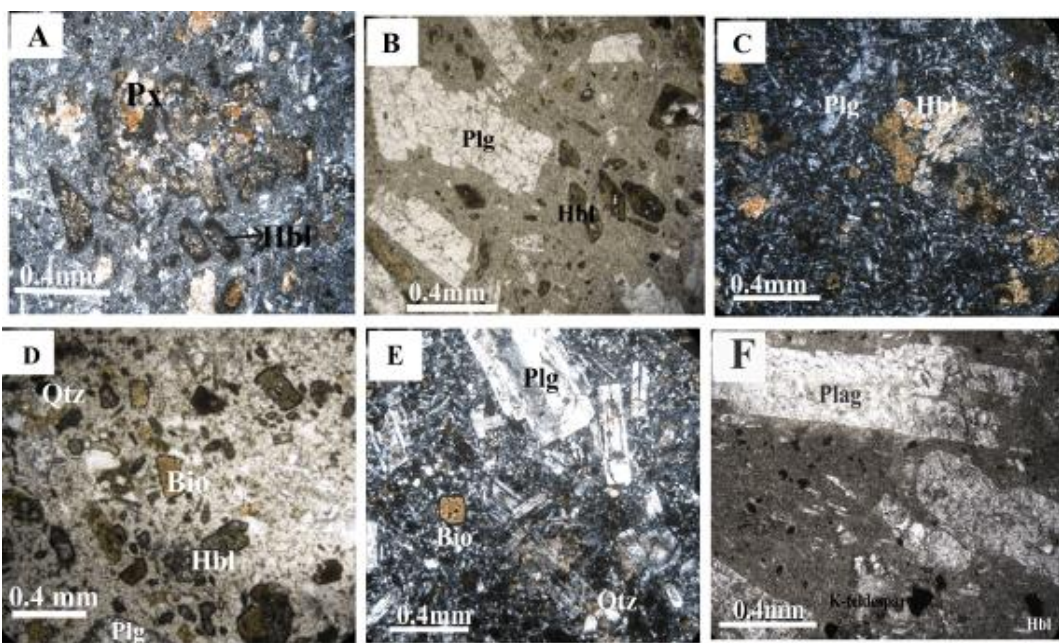
تکه‌های سنگی، دگرسان شده و در بخش‌هایی به اپیدوت و کربنات دگرسان شده‌اند. کانی‌های هورنبلند نیز در بخش‌هایی کلریتی شده‌اند.

داسیت: بافت اصلی داسیت‌ها پورفیری هستند و همچنین، بافت میکرولیتی نیز در آنها دیده می‌شود. نزدیک به ۲۰ تا ۲۵ درصد درشت‌بلور دارند که شامل بلورهای شکل‌دار تا نیمه‌شکل‌دار کوارتز تا اندازه $0/3$ میلیمتر (3 تا 5 درصد حجمی)، پلاژیوکلاز از نوع آلبیت تا اندازه $0/7$ میلیمتر (7 تا 9 درصد حجمی)، آلکالی‌فلدسپار بیشتر از نوع سانیدین تا $0/8$ میلیمتر (4 تا 5 درصد حجمی)، بیوتیت تا اندازه $0/3$ میلیمتر (2 - 3 درصد حجمی) هورنبلند تا اندازه $0/5$ میلیمتر (3 - 2 درصد حجمی) هستند (شکل ۴-D). در این سنگ‌ها، بیوتیت‌ها و هورنبلندها به ندرت دارای کناره‌های سوخته هستند. زمینه سنگ از پلاژیوکلاز (40 - 45 درصد حجمی)، سانیدین (5 - 3 درصد حجمی)، هورنبلند (10 - 5 درصد حجمی) و کوارتز (10 - 15 درصد حجمی) است.

گدازه‌های ریولیتی: این سنگ‌ها بیشتر دارای بافت پورفیری تا هیالوپورفیری هستند. نزدیک به 25 تا 30 درصد درشت‌بلور دارند که شامل کوارتز خلیجی تا اندازه $0/2$ میلیمتر (5 - 3 درصد حجمی)، آلکالی‌فلدسپار تا اندازه $0/8$ میلیمتر (12 - 15 درصد حجمی)، پلاژیوکلاز تا اندازه 1 میلیمتر (8 تا 10 درصد حجمی) با نشانه‌هایی از خوردگی هستند. همچنین، بیوتیت و کانی‌های کدر و به اندازه کمتر هورنبلند نیز به صورت فنوکریست دیده می‌شوند (شکل ۴-E). آلکالی‌فلدسپارها نیز بسیار دگرسان (آرژیلیکی) شده‌اند و شناسایی نوع آنها بسیار دشوار است. زمینه در این سنگ‌ها سیلیسی شده است.

اپیدوت، سرسیت و کلسیت جایگزین شده‌اند. در برخی پلاژیوکلازها منطقه‌بندی نوسانی و بافت غربالی دیده می‌شود. ویژگی‌های بافتی در فنوکریست‌ها، مانند منطقه‌بندی نوسانی و بافت غربالی، همگی نشان‌دهنده نبود تعادل شیمیایی و تُند بالاً‌مدن ماقما و کاهش ناگهانی فشار در آن است و نقش آلایش پوسته‌ای را نشان می‌دهد (Raymond, 2002). پیروکسن‌ها اوژیت هستند و کانی‌های کدر بیشتر مگنتیت و پیریت هستند. بیشتر هورنبلندها در سنگ‌های آندزیتی دارای کناره‌های سوخته هستند و در برخی بخش‌ها، بیشتر تنها هورنبلندها به جای مانده است. حفرات درون آندزیت‌ها با کلسیت و کلریت پر شدند.

تراکی آندزیت: بافت این سنگ‌ها بیشتر تراکیتی است و 22 تا 28 تا 28 درصد درشت‌بلور دارند. این درشت‌بلورها شامل پلاژیوکلاز تا اندازه $0/6$ میلیمتر (12 تا 14 درصد حجمی)، هورنبلند تا اندازه $0/6$ میلیمتر (5 تا 7 درصد آلکالی‌فلدسپار تا اندازه $0/8$ میلیمتر (5 تا 7 درصد حجمی) هستند. برخی پلاژیوکلازها دارای منطقه‌بندی نوسانی هستند (شکل ۴-C). آلکالی‌فلدسپارها در تراکی آندزیت‌های منطقه بیشتر فنوکریست تا میکرولیت‌های سانیدین با ماکل کارلس‌باد هستند. زمینه سنگ از میکرولیت‌های پلاژیوکلاز (50 درصد حجمی) و آلکالی‌فلدسپار (20 درصد حجمی) از نوع سانیدین ساخته شده است. کانی‌های کدر و هورنبلند نیز در زمینه سنگ دیده می‌شود. ویژگی‌های بافتی در بلورها مانند خوردگی و منطقه‌بندی در پلاژیوکلازها همگی نشان‌دهنده نبود تعادل شیمیایی و تُند بالاً‌مدن ماقما و کاهش ناگهانی فشار در آن است و نقش آلایش پوسته‌ای را نشان می‌دهد (Raymond, 2002). پلاژیوکلازهای درون



شکل ۴- تصویرهای میکروسکوپی از: (A) سنگ‌های آندزیت‌بازالتی (تصویر XPL یا cross polarized light) یا (B) هورنبلند‌آندزیت (تصویر PPL یا plane polarized light) یا (C) تراکی آندزیت (تصویر XPL); (D) داسیت (تصویر PPL); (E) ریولیت در منطقه چشم‌خوری (تصویر XPL); (F) تراکی آندزیت در منطقه شکسته‌سبز (تصویر PPL). نام اختصاری کانی‌ها برگرفته از Kretz (۱۹۸۳) است (Plg: پلاژیوکلаз؛ Bio: بیوتیت؛ Qtz: کوارتز؛ Hbl: هورنبلند؛ Px: پیروکسن).

فوران، کاهش فشار جانبی و فوگاسیته اکسیژن بالا روی می‌دهد (Rutherford and Devine, 2003). هورنبلند با کناره‌های سوخته نشان‌دهنده افت ناگهانی فشار بخار آب در هنگام بالا آمدن مagmaست (Pearce *et al.*, 1987).

زمین‌شیمی

داده‌های تجزیه اکسیدهای اصلی، عناصر فرعی و خاکی نادر برای سنگ‌های آتشفشانی دارای کمترین دگرسانی در این دو منطقه در جدول ۱ آورده شده‌اند. نامگذاری سنگ‌های آتشفشانی چشم‌خوری SiO_2 در سنگ‌های آتشفشانی چشم‌خوری و شکسته‌سبز، $52/6$ تا $69/8$ درصد وزنی است (جدول ۱). برای نامگذاری این سنگ‌ها، نمودار Middlemost (۱۹۹۴) به کار برده شد. نمونه‌ها در بخش ریولیت، داسیت، آندزیت، تراکی آندزیت و آندزیت‌بازالتی جای گرفته‌اند (شکل ۵-A).

(ب) سنگ‌نگاری سنگ‌های آتشفشانی در منطقه شکسته‌سبز

تراکی آندزیت: این سنگ‌ها بیشتر بافت تراکیتی دارند. نزدیک به 25 تا 30 درصد درشت بلور دارند که شامل پلاژیوکلاز تا اندازه 2 میلیمتر (10 تا 15 درصد)، هورنبلند با کناره‌های سوخته تا اندازه $4/0$ میلیمتر (5 تا 7 درصد)، آلکالی فلدسپار تا اندازه $8/0$ میلیمتر (5 تا 8 درصد حجمی) هستند (شکل ۴-F). در برخی بخش‌ها، هورنبلندها سراسر با کانی‌های کدر جایگزین شده‌اند. ویژگی این سنگ‌ها داشتن بافت تراکیتی است. زمینه سنگ از میکرولیت‌های پلاژیوکلاز ($30-40$ درصد حجمی)، آلکالی فلدسپار از نوع سانیدین (15 درصد حجمی)، هورنبلند ($10-5$ درصد حجمی) و کانی‌های کدر (5 درصد حجمی) ساخته شده است. در تراکی آندزیت منطقه شکسته‌سبز، کناره بلورهای هورنبلندها سوخته شده است. این ویژگی در پی اکسیدشدن گرمابی، تغییرات دما، نرخ سردشده‌گی و

جدول ۱- تجزیه شیمیایی اکسیدهای اصلی (بر پایه درصد وزنی) و عناصر فرعی (بر پایه ppm) سنگ‌های آتشفشانی در مناطق شکسته سبز (SH) و چشم‌خوری (CH) و نمونه‌های (CH) Salim (۲۰۱۲) که با شماره‌های S-P * نشان داده شده‌اند.

Sample No.	SH4	SH5	SH8	SH19	SH33	CH3	CH5
X	58°23'18"	58°23'36"	58°23'38"	58°22'31"	58°23'31"	58°25'10"	58°25'25"
Y	33°2'57"	33°2'58"	33°2'55.1"	33°3'6"	33°1'55"	33°9'19.3"	33°9'18"
Rock Type	Trachy andesite	Dacite	Dacite				
SiO ₂	56.52	55.76	57.63	60.17	55.47	63.11	63.73
TiO ₂	1.64	1.68	1.57	1.08	1.76	0.51	0.45
Al ₂ O ₃	16.1	16.28	16.06	15.59	16.25	17.09	16.98
FeO*	7.56	7.76	6.35	6.06	7.05	4.34	3.9
MnO	0.13	0.16	0.12	0.11	0.15	0.08	0.05
MgO	2.41	2.09	2.21	1.88	2.38	1.23	1.64
CaO	5.85	6.03	5.59	4.95	6.14	3.88	3.31
Na ₂ O	3.2	3.18	3.31	3.24	3.05	2.98	2.82
K ₂ O	3.47	3.68	3.47	3.84	3.68	2.92	3.01
P ₂ O ₅	0.98	1	1.01	0.62	0.92	0.21	0.18
LOI	1.05	1.26	1.73	1.55	2.11	3	3.33
Total	98.91	98.88	99.05	99.09	98.96	99.35	99.4
Ba	515	514	490	581	515	467	469
Be	4	3	4	4	3	2	3
Co	18.3	18.9	17.1	12.5	17.0	5.5	5.1
Cs	4.8	7.3	5.5	6.4	3.8	4.1	2.8
Ga	18.5	18.6	17.7	18.5	19.0	17.1	16.1
Hf	9.1	9.2	9.0	8.5	9.2	4.1	4.1
Nb	15.4	15.1	15.2	14.3	16.6	7.0	7.0
Rb	158.6	179.7	156.1	169.4	150.0	96.6	98.5
Sn	3	3	3	2	3	1	<1
Sr	401.1	419.6	388.6	400.6	408.6	368.7	338.9
Ta	0.9	1.2	1.1	0.9	1.1	0.4	0.5
Th	19.9	20.9	20.2	18.4	20.5	9.7	9.7
U	4.9	4.9	5.0	4.6	4.8	2.4	2.7
V	176	179	162	99	176	42	66
W	1.7	2.2	2.6	2.5	2.3	1.4	1.4
Zr	385.9	398.5	389.9	360.0	400.2	160.9	156.7
Y	45.3	49.5	43.7	39.1	48.1	10.7	10.8
La	52.6	52.5	52.6	46.2	54.0	27.1	26.9
Ce	105.3	110.7	106.8	94.0	109.8	55.8	55.2
Pr	12.50	13.00	12.44	10.74	13.00	6.03	5.99
Nd	48.0	52.6	50.1	41.7	52.8	22.5	23.5
Sm	9.81	10.62	9.92	8.15	10.34	4.21	4.20
Eu	2.23	2.34	2.17	1.94	2.25	1.04	1.00
Gd	9.50	9.59	9.01	7.60	9.55	3.33	3.21
Tb	1.53	1.53	1.43	1.24	1.51	0.47	0.46
Dy	8.60	8.75	8.37	7.26	8.62	2.31	2.50
Er	5.10	5.29	4.82	4.48	5.10	1.10	1.21
Tm	0.76	0.79	0.71	0.64	0.75	0.14	0.16
Yb	5.02	5.08	4.40	4.21	4.96	0.95	1.07
Lu	0.74	0.79	0.70	0.67	0.74	0.15	0.14
Ratios							
K ₂ O/Na ₂ O	1.084	1.157	1.048	1.185	1.206	0.979	1.067
Eu/Eu*	0.706	0.709	0.702	0.754	0.692	0.849	0.833
(La/Yb) _N	7.064	6.968	8.06	7.399	7.34	19.232	16.949

جدول ۱- ادامه.

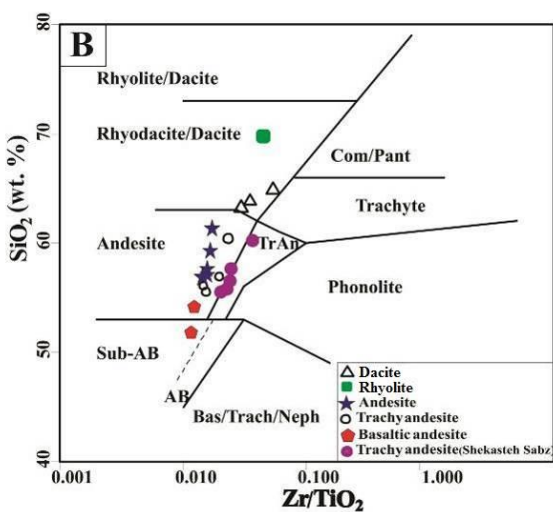
Sample No.	CH16	CH19	CH31	S-P-21*	S-P-24*	S-P-35*	S-P-38*
X	58° 24' 21"	58° 24' 30"	58° 24' 8"	58° 23' 14"	58° 23' 14"	58° 24' 27"	58° 23' 57"
Y	33° 11' 52"	33° 13' 13"	33° 11' 41"	33° 13' 24"	33° 13' 24"	33° 13' 14"	33° 12' 34"
Rock Type	Basaltic Andesite	Andesite	Andesite	Andesite	Andesite	Rhyo dacite	Trachy andesite
SiO₂	55.13	60.81	59.18	57.2	56.5	69.8	55.9
TiO₂	0.96	0.67	0.84	0.83	0.75	0.29	0.91
Al₂O₃	16.75	15.34	16.05	17.8	17.4	15.3	17.3
FeO*	7.5	5.37	6.59	6.84	6.24	2.73	6.93
MnO	0.15	0.1	0.14	0.11	0.11	0.04	0.13
MgO	4.3	3.49	3.94	3.83	3.7	0.58	4.3
CaO	7.29	4.79	6.17	5.93	6.64	3.27	6.49
Na₂O	3.06	3.42	3.05	3.2	3	3.7	3.4
K₂O	2.46	3.13	2.59	2.6	2.12	3.53	2.89
P₂O₅	0.32	0.16	0.19	0.17	0.15	0.18	0.17
LOI	0.96	1.85	0.28	1.37	3.23	1.48	1.62
Total	98.88	99.13	99.02	99.05	99.84	100.9	100.04
Ba	655	867	581	540	460	450	730
Be	1	<1	<1	-	-	-	-
Co	16.8	27.5	23.2	23.9	22.7	3.2	25.3
Cs	1.9	2.1	2.4	3.5	2.2	3.5	2.3
Ga	15.5	16.5	16.3	20	19	17	21
Hf	3.3	3.5	3.5	4	4	4	4
Nb	8.6	7.1	7.9	13	12	13	12
Rb	74.8	69.4	70.5	81.5	63.9	128	81.7
Sn	1	<1	1	2	2	3	2
Sr	613.6	1135.0	699.4	650	620	340	1030
Ta	0.5	0.6	0.6	1.3	1.2	1.6	<0.5
Th	7.4	9.8	6.9	9.6	8	10.5	10.1
U	3.6	2.5	2.1	2.69	2.23	2.65	2.82
V	114	250	160	186	148	33	183
W	1.4	0.8	0.7	2	1	3	1
Zr	130.5	123.1	134.6	130	115	128	137
Y	13.0	20.4	16.3	20.7	17.6	7.3	20.5
La	21.7	33.9	21.3	27.2	18.9	30.1	33
Ce	39.4	69.3	43.9	51	39.1	57.2	64.6
Pr	4.25	7.83	4.91	6.46	4.44	6.53	7.72
Nd	15.9	31.7	19.3	24.1	17.6	22.2	30
Sm	2.84	6.32	3.83	4.5	3.7	3.7	5.8
Eu	0.80	1.55	1.09	1.34	0.96	1	1.42
Gd	2.61	5.12	3.66	4.02	3.39	2.36	4.49
Tb	0.40	0.72	0.56	0.76	0.57	0.34	0.64
Dy	2.21	4.13	3.36	3.96	3.06	1.41	3.67
Er	1.37	2.20	2.05	2.41	1.77	0.72	2.22
Tm	0.18	0.34	0.30	0.37	0.29	0.11	0.35
Yb	1.40	2.36	2.04	2.3	1.8	0.7	2.1
Lu	0.21	0.34	0.30	0.34	0.28	0.11	0.32
Ratios							
K₂O/Na₂O	0.803	0.915	0.849	0.812	0.706	0.954	0.85
Eu/Eu*	0.898	0.833	0.89	0.963	0.829	1.035	0.851
(La/Yb)_N	10.45	9.684	7.039	7.973	7.079	28.99	10.594

جدول ۱- ادامه.

Sample No.	S-P-41.1*	S-P-50*	S-P-66*	S-P-71*	S-P-98*	S-P-101*
X	58° 24' 10"	58° 24' 9"	58° 23' 5"	58° 22' 21"	58° 24' 52"	58° 24' 47"
Y	33° 13' 57"	33° 11' 41"	33° 11' 52"	33° 12' 45"	33° 12' 59"	33° 11' 37"
Rock Type	Dacite	Trachy andesite	Trachy andesite	Trachy andesite	Andesitic basalt	Andesite
SiO ₂	64.7	55.8	60.2	56.8	52.6	56.6
TiO ₂	0.32	0.81	0.59	0.86	0.74	0.86
Al ₂ O ₃	17.29	17.1	16.9	16.4	16.7	16.6
FeO*	3.02	7	4.79	6.49	6.59	7.2
MnO	0.08	0.13	0.1	0.08	0.09	0.13
MgO	1.11	4.52	2.98	3.92	7.47	3.96
CaO	3.07	6.42	4.39	5.97	8.08	6.12
Na ₂ O	4.2	3.3	3.9	3	3.4	3.6
K ₂ O	3.66	2.51	3.05	3.72	1.89	1.8
P ₂ O ₅	0.19	0.16	0.12	0.25	0.08	0.11
LOI	2.24	1.53	2.09	2.37	2.18	1.55
Total	99.88	99.28	99.11	99.86	99.82	99.53
	ppm					
Ba	700	530	650	660	430	440
Co	2.6	25.5	16	22.7	33.1	25.5
Cs	2.5	3.5	2.9	4.6	2.8	5
Ga	19	19	19	19	18	20
Hf	5	4	4	5	3	4
Nb	13	9	8	11	6	10
Rb	113	78.9	92.1	124	48	92.5
Sn	2	2	2	2	1	2
Sr	760	670	750	780	1010	530
Ta	0.6	<0.5	<0.5	<0.5	<0.5	<0.5
Th	11.4	6.9	11.3	14.6	7	8.5
U	3.58	2.19	3.45	3.86	2.36	2.47
V	28	178	120	193	171	188
W	2	>1	2	2	>1	2
Zr	179	121	133	166	99.7	139
Y	13.8	19.8	16.4	23.2	17.2	22.6
La	34.4	23	24.7	37.3	26.6	24.7
Ce	64.5	44.6	47	74.2	48	50.2
Pr	7.04	5.24	5.28	8.79	5.54	5.97
Nd	24	20.6	19.8	34.4	20.2	23.2
Sm	4.1	4.2	3.8	6.5	3.9	4.8
Eu	1.01	1.12	0.92	1.49	1.13	1.16
Gd	2.98	3.63	3.27	5.21	3.48	4.4
Tb	0.46	0.61	0.48	0.75	0.54	0.71
Dy	2.45	3.56	2.8	3.99	3.22	3.85
Er	1.49	2.21	1.83	2.44	1.85	2.4
Tm	0.26	0.34	0.28	0.35	0.29	0.4
Yb	1.6	2.1	1.8	2.4	1.7	2.4
Lu	0.26	0.33	0.26	0.34	0.27	0.35
Ratios						
K ₂ O/Na ₂ O	0.871	0.760	0.782	1.24	0.555	0.5
Eu/Eu*	0.883	0.877	0.798	0.783	0.938	0.772
(La/Yb) _N	14.495	7.384	9.251	10.478	10.549	6.939

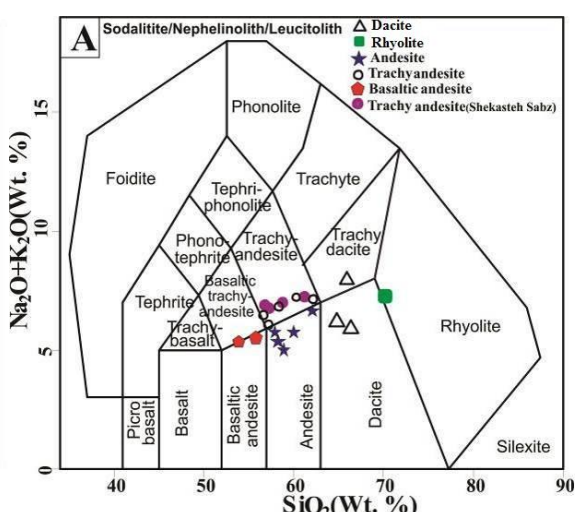
نمودار، نمونه‌ها در بخش سنگ‌های کالک‌آلکالن K-High و شوشوونیتی و بخش ریولیت، داسیت، آندزیت، آندزیت بازالتی و بازالت هستند (شکل ۶-۶). (B)

نامگذاری سنگ‌های آتشفشاری شکسته‌سierz
 میزان SiO_2 در سنگ‌های آتشفشاری چشم‌خوری و شکسته‌سierz، ۵۵/۴۷ تا ۶۰/۱۷ درصد وزنی است. برای نامگذاری این سنگ‌ها از نمودار Middlemost (۱۹۹۴) بهره گرفته شد. نمونه‌های چشم‌خوری و شکسته‌سierz در بخش تراکی آندزیت جای گرفته‌اند (شکل ۶-۵A). در Nmودار SiO_2 در برابر Zr/TiO_2 پیشنهادی Floyd (۱۹۷۷)، سنگ‌های آتشفشاری شکسته‌سierz در بخش تراکی آندزیت جای گرفته‌اند (شکل ۶-۵B). اندازه K_2O سنگ‌های آتشفشاری ۳/۴۷ تا ۳/۸۴ درصد وزنی Peccerillo and Taylor (۱۹۷۶) است. در نمودار K_2O در برابر SiO_2 (Taylor, 1976)، همه نمونه‌ها در بخش شوشوونیتی جای گرفته‌اند (شکل ۶-۶A). در نمودار Th در برابر Co (Hastie *et al.*, 2007)، نمونه‌ها در بخش سنگ‌های کالک‌آلکالن High-K و شوشوونیتی و بخش آندزیت جای گرفته‌اند (شکل ۶-۶B).

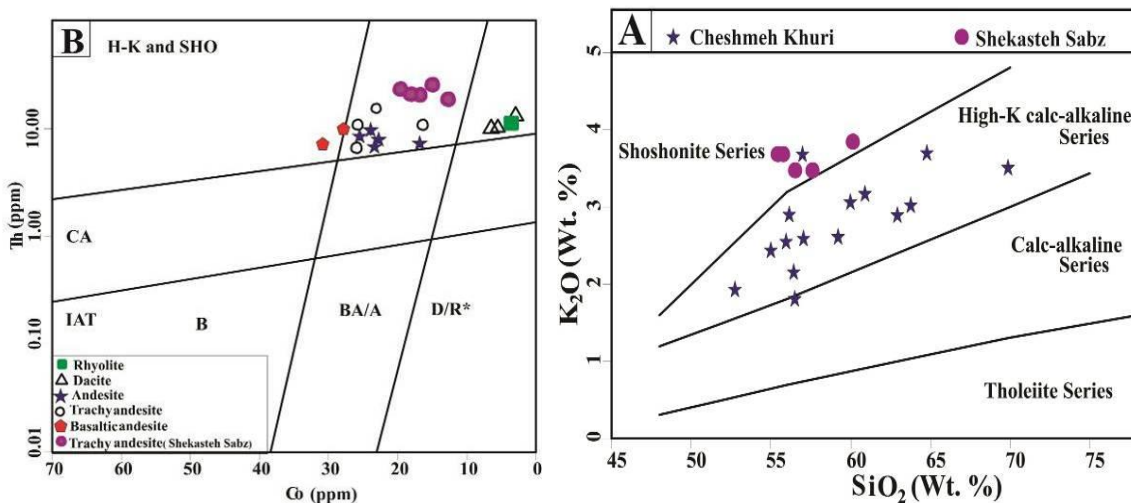


Winchester and Floyd, 1994؛ (B) نمودار نامگذاری سنگ‌های آتشفشاری (Middlemost, 1994) (A) نمودار نامگذاری سنگ‌های آتشفشاری (Karimpour, 2010) (1977)

از آنجایی که احتمال دگرسانی برای سنگ‌های آتشفشاری بیشتر از سنگ‌های آذرین درونی است، پس این سنگ‌ها را برابر پایه عناصری که امکان جابجایی کمتری دارند می‌توان نامگذاری کرد (Karimpour, 2010). در نمودار SiO_2 در برابر Zr/TiO_2 (Floyd, 1977)، سنگ‌های آتشفشاری در بخش ریولیت، داسیت، آندزیت، تراکی آندزیت و آندزیت بازالتی جای گرفته‌اند (شکل ۶-۵B). مقدار K_2O سنگ‌های آتشفشاری ۱/۸ تا ۳/۷ درصد وزنی است. در Nmودار Peccerillo and Taylor, (1976) در برابر K_2O در برابر SiO_2 (Hastie *et al.*, 2007) برای شناسایی سری‌های ماقمایی کاربرد دارد. این نمودار بر پایه دو عنصر با رفتارهای بسیار متفاوت پیشنهاد شده است. Th یک عنصر ناسازگار است که در درجه کم ذوب‌بخشی وارد مذاب می‌شود؛ اما Co که دارای پایداری میدان بلوری بوده و شعاع مؤثر آن با عنصر Mg همانند است در درجه ذوب‌بخشی بالاتر وارد مذاب می‌شود. در این



شکل ۶-۵ (A) نمودار نامگذاری سنگ‌های آتشفشاری (Middlemost, 1994) (B) نمودار نامگذاری سنگ‌های آتشفشاری (Karimpour, 2010) (1977)



شکل ۶ - (A) نمودار بررسی میزان پتاسیم (Peccerillo and Taylor, 1976) در برابر K_2O (Wt. %)؛ (B) نمودار بررسی میزان پتاسیم (Hastie *et al.*, 2007) در برابر Co (ppm)؛ (C) بازالت؛ (D) آندزیت بازالتی و آندزیت؛ (E) لاتیت و تراکیت، که در این محدوده جای می‌گیرند).

سنگ‌های گدازه‌ای (Taylor and McLennan, 1985) منطقه چشم‌خوری دارای ناهنجاری منفی (۰/۷۷۲ تا ۰/۹۶۳) هستند و تنها یکی از نمونه‌ها (نمونه S-P-35) ناهنجاری مثبت (۱/۰۳۵) نشان می‌دهد (جدول ۱، شکل ۷ - A).

در برابر ترکیب گوشته اولیه، همه نمونه‌های چشم‌خوری از عناصر LILE (K, Rb, Cs) و عناصر HFSE (Y, Zr, Nb, Ti) دارای غنی‌شدگی هستند و تفاوت‌های اندک، مربوط به تغییر ترکیب کلی سنگ است (شکل ۷ - B). غنی‌شدگی در عناصر LILE در برابر HFSE نشان‌دهنده ماقمای وابسته به پهنه‌های فرورانش است (Gill, 1981; Pearce, 1983; Wilson, 1989; Rollinson, 1993). احتمال اینکه عناصر HFSE در کانی‌هایی مانند روتیل و یا ایلمنیت وارد شوند بسیار بالاست و این نکته، وجود تخته (slab) فرورانده شده را نشان می‌دهد (Ryerson and Watson, 1987) و همکاران (1994) بر این باور هستند که تهی‌شدگی از Ti در مagma تیسم، وابسته به فرورانش و فوگاسیته اکسیژن است. هنگامی که فوگاسیته اکسیژن بالا باشد، دمای بیشتری نیاز است تا کانی‌های دارای Ti

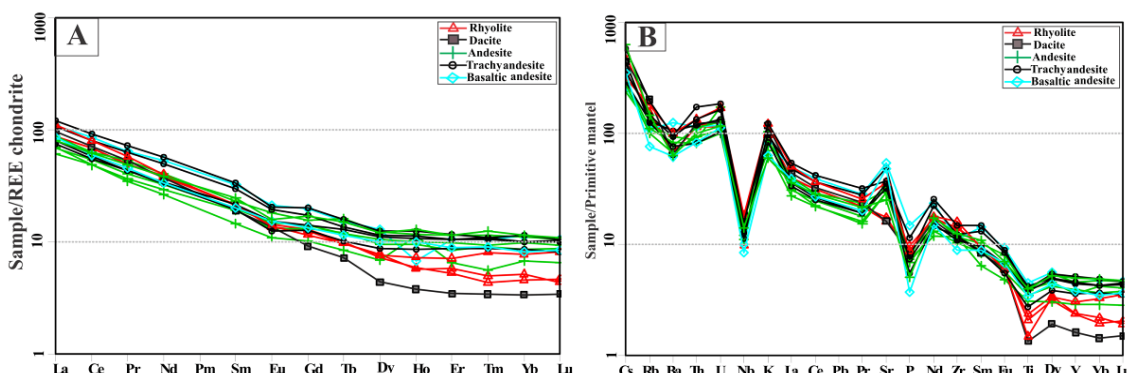
نمودارهای عنکبوتی و REE

(الف) منطقه چشم‌خوری: عناصر خاکی نادر (REE) در برابر عناصر دیگر کمتر دچار هوازدگی و دگرسانی‌های گرمابی می‌شوند. از این‌رو، الگوی فراوانی آنها می‌تواند خاستگاه آذرین سنگ‌ها را نشان بدهد (Wilson, 1993; Byntton, 1985) (1989)، در نمودارهای عنکبوتی، روندهای کمابیش همانند و موازی فراوانی عناصر در نمونه‌ها (بدون در نظر گرفتن برخی آنومالی‌ها که برآمده از آلایش پوسته‌ای هستند) می‌تواند نشان‌دهنده خاستگاه یکسان این سنگ‌ها باشد. در نمودار عناصر خاکی نادر برای سنگ‌های آتشفسانی که در برابر ترکیب کندریت سبک (LREE) در برابر عناصر خاکی نادر سنگین (HREE) غنی‌شدگی بیشتری نشان می‌دهند. همچنین، HREE نیز یک روند کمابیش هموار دارد (شکل ۷ - A). روند غنی‌شدگی از LREE در برابر HREE نشان‌دهنده یک ماقمای پدیدآمده در پهنه فرورانش است (Gill, 1981; Pearce, 1983; Wilson, 1989; Rollinson, 1993). هرگاه Eu/Eu^* بیش از یک باشد، ناهنجاری مثبت و هرگاه کمتر از یک باشد، ناهنجاری منفی است

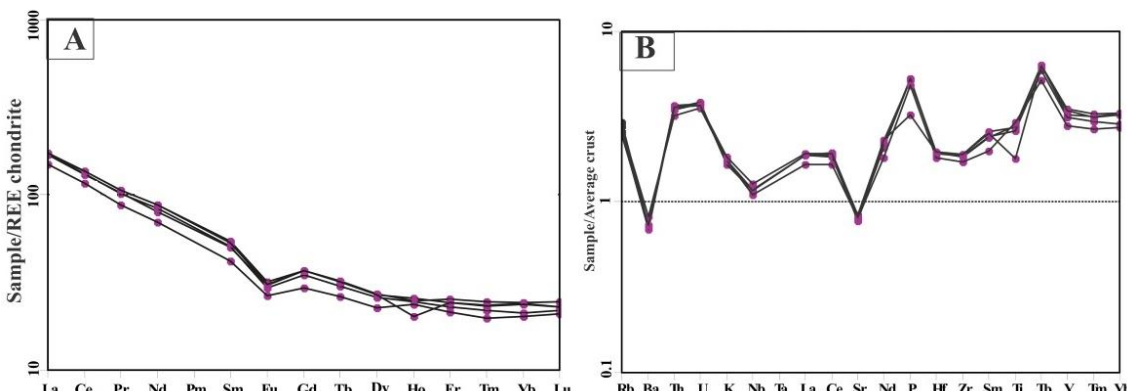
(A). همچنین، Eu/Eu^* (۰/۶۹۲ ۰/۷۵۴) نیز ناهنجاری منفی نشان می‌دهد هرچند سنگ‌های آتشفشاری منطقه چشم‌خوری ناهنجاری منفی نشان نمی‌دهند (جدول ۱، شکل ۸). Eu عنصری سازگار در فلدسپارهاست و بی‌نهجاري منفی آن بر اثر جدایش فلدسپار در هنگام تبلور ماغما یا در پی بهجای‌ماندن فلدسپار در خاستگاه در هنگام ذوب‌بخشی، در شرایطی که اکتیویته H_2O پایین است، روی می‌دهد (Tepper *et al.*, 1993). همچنین، در پی شرایط احیایی محیط ناهنجاری منفی Eu می‌تواند روی دهد. در نمودار بهنجار شده در برابر ترکیب میانگین پوسته نیز غنی‌شدگی از عناصر HFSE مانند Zr, Y, Ta, Ga, Nb و Hf و کاهش شدید در Ba و Sr دیده می‌شود (شکل ۸).

در مذاب‌های جداشده از پهنه فروزانش تهی شوند. بنابراین، Ti تهی نمی‌شود و این عنصر ناهنجاری منفی نشان می‌دهد. همچنین، آنومالی منفی Ti می‌تواند Rollinson, (1993). همچنین، مقادیر Nb و Ta می‌تواند نشان‌دهنده نقش اکسیدهای Fe-Ti باشد (Walker *et al.*, 2001; Gust *et al.*, 1997). تهی‌شدگی رخ داده پیشین در سنگ‌های مخزن گوشته باشد (Wu *et al.*, 2003) تهی‌شدگی فسفر در نمونه‌ها به جدایش آپاتیت از ماغما وابسته است.

(B) منطقه شکسته سبز: در نمودار عناصر خاکی نادر (REE) برای سنگ‌های آتشفشاری که به ترکیب کندریت بهنجار شده (Boynton, 1984)، عناصر خاکی نادر سبک (LREE) در برابر عناصر خاکی نادر سنتیگین (HREE) غنی‌شدگی بیشتری نشان می‌دهند (شکل ۸).

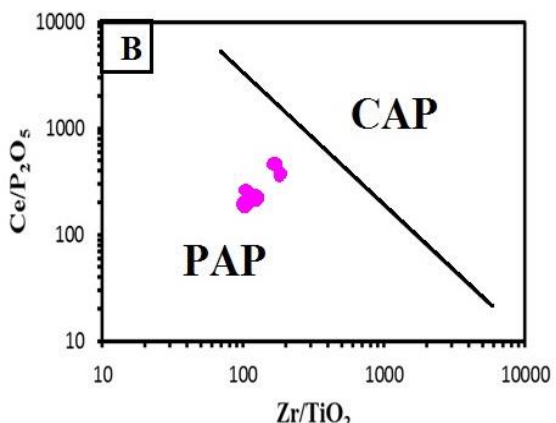
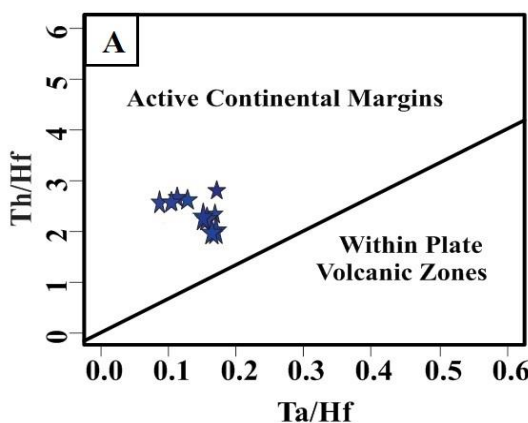


شکل ۷- سنگ‌های آتشفشاری منطقه چشم‌خوری (خاور ایران) بر روی: (A) نمودار عناصر خاکی نادر بهنجار شده در برابر ترکیب کندریت (Sun and McDonough, 1989) نمودار عناصر کمیاب بهنجار شده در برابر ترکیب گوشته اولیه (B) (Boynton, 1984)



شکل ۸- سنگ‌های آتشفشاری منطقه شکسته سبز (خاور ایران) بر روی: (A) نمودار عناصر خاکی نادر بهنجار شده در برابر ترکیب کندریت (Weaver and Tarney, 1984) (B) نمودار بهنجار شده برخی عناصر فرعی و خاکی نادر نسبت به میانگین پوسته (Boynton, 1984).

گوئه گوشه‌های و پوسته فرورونده و رسوب‌ها از یکدیگر، با به کارگیری نسبت‌های عناصر نادر Ta/Yb - Th/Yb ، دو نکته در نظر گرفته می‌شود (Pearce, 1983). نخست با جای دادن Yb در مخرج کسر، برای هر دو محور عمودی و افقی نمودار، آثار ذوب‌بخشی و تبلور‌بخشی در پیدایش ماگما به کمترین می‌رسد. در مرحله دوم، با به کارگیری دو عنصر بسیار ناسازگار در صورت کسر، برای هر دو محور عمودی و افقی نمودار، می‌توان درباره این که آیا سنگ‌های آتشفسانی بررسی شده به گوئه غنی‌شده و یا گوئه تهی شده وابسته هستند، به یافته‌های خوبی دست یافت (Zaravandi *et al.*, 2013). بر پایه این نمودار آشکار شد که این سنگ‌ها وابسته به حاشیه قاره‌ای فعل هستند و ماگمای مادر آنها در پی ذوب‌بخشی خاستگاه گوئه غنی‌شده پدید آمده است. نسبت Th/Yb برای سنگ‌های آتشفسانی چشم‌خوری در برابر ترکیب گوئه بالاست. این پدیده به فرایندهای وابسته به فرورانش نسبت داده می‌شود. بیشتر ماگماهای کمان در پی ذوب‌بخشی در گوئه گوشه‌های وابسته به فرورانش، و با افزوده شدن اجزای متاسوماتیک آزادشده از لیتوسفر اقیانوسی فرورونده پدید می‌آیند.



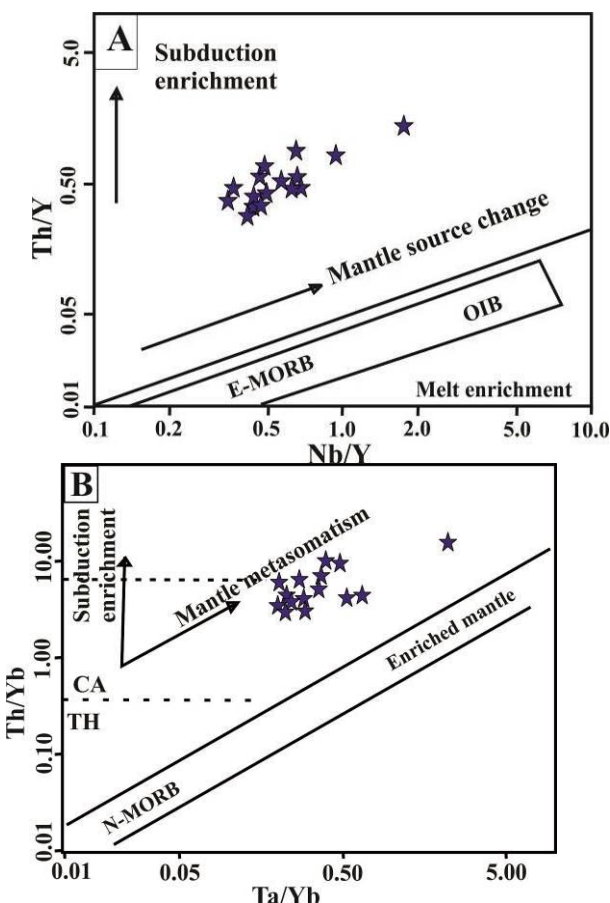
شکل ۹-۹ (A) نمودار Th/Hf در برابر Ta/Hf (Schandl and Gorton, 2000) برای سنگ‌های آتشفسانی چشم‌خوری (خاور ایران); (B) نمودار $\text{Ce/P}_2\text{O}_5$ - Zr/TiO_2 (Muller and Groves, 1997) برای سنگ‌های آتشفسانی شکسته‌سیز (خاور ایران) CAP: کمان حواشی فعل قاره‌ای؛ PAP: کمان پس از برخورد.

شناسایی جایگاه زمین‌ساختی

آندرزیت، داسیت و ریولیت‌ها در پهنه‌های زمین‌ساختی گوناگونی یافت می‌شوند؛ اما بیشتر آنها در پهنه‌های فرورانش (جزایر کمانی و حاشیه قاره‌ای فعال) هستند و ترکیب آنها در این گونه پهنه‌ها با فرایندهای درون مرزهای همگرا بستگی دارد (Gill, 2010). برای شناسایی پهنه زمین‌ساختی سنگ‌های آتشفسانی منطقه چشم‌خوری، نمودار Th/Hf در برابر A-Hf (Schandl and Gorton, 2000) Ta/Hf به کار رفته که در آن سنگ‌های آتشفسانی در محدوده حواشی فعل قاره جای گرفته‌اند. برای شناسایی کمان‌های ماگمایی حاشیه فعل قاره‌ای و کمان‌های Groves و Muller (1997) به کار برده شد. در این نمودار، نمونه‌های شکسته‌سیز در گستره کمان‌های پس از برخورد (PAP) جای گرفته‌اند (شکل ۹-۹B).

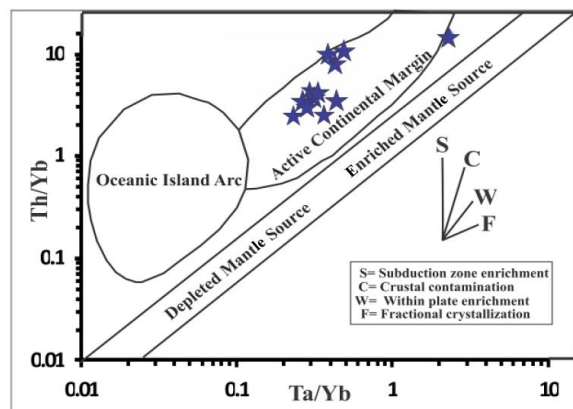
Siddiqui *et al.*, (2007) نیز برای شناسایی جایگاه زمین‌ساختی سنگ‌های آتشفسانی منطقه چشم‌خوری به کار برده شد (شکل ۹-۱۰). برای شناخت

به گوشه‌تهای زیر قاره‌ای در ناحیه کمان جابه‌جا می‌کند (Hermann *et al.*, 2006). افزوده‌شدن رسوب‌های پلاژیک و یا پوسته اقیانوسی دگرسان‌شده به خاستگاه ذوب‌شدگی، پیدایش آنومالی مثبت U و Th در نمودارهای عنکبوتی (Fan *et al.*, 2003) را در پی دارد (شکل ۷-۷A).



شکل ۱۱- جایگاه سنگ‌های منطقه چشم‌خوری (خاور ایران) در: (A) نمودار Y/Th در برابر Nb/Y (Pearce, 1983); (B) نمودار Ta/Yb در برابر Th/Yb (Pearce, 1983) (MHD: کالک‌آلکالن برگرفته از Gamble و McCulloch (1991) است).

بر پایه ویژگی‌های زمین‌شیمیایی (شکل ۷-۷A و ۷-۷B) و نمودارهای رسم شده، می‌توان چنین برداشت کرد که در خاستگاه نمونه‌های بررسی شده، از میان اجزای فرورانشی، متاسوماتیسم وابسته به رسوب‌های فرورونده

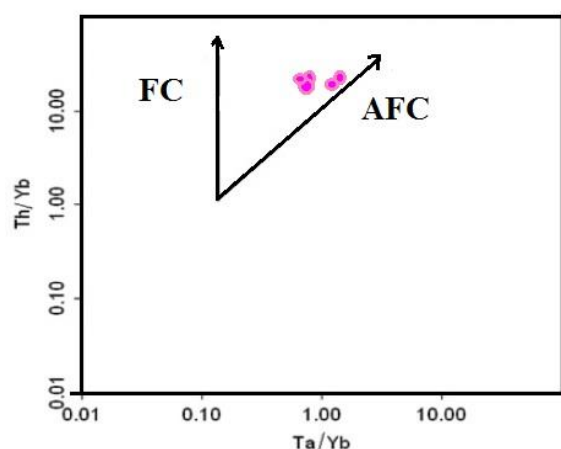


شکل ۱۰- جایگاه سنگ‌های منطقه چشم‌خوری (خاور ایران) بر روی نمودار Th/Yb در برابر Ta/Yb (Siddiqui, *et al.*, 2007; Helvacı *et al.*, 2009).

بررسی خاستگاه

بر پایه نمودار Th/Yb در برابر Nb/Y که Pearce (1983) پیشنهاد کرده، نمونه‌های منطقه چشم‌خوری در محدوده میان گوشه‌تهای تغییریافته و غنی‌شدگی فرورانش جای گرفته‌اند (شکل ۱۱-۱۱A). این ویژگی، نشان‌دهنده خاستگاه گوشه‌تهای متاسوماتیسم شده با سیال‌های است. در نمودار Th/Yb در برابر Th/Yb (Pearce, 1983) نمودار نمونه‌های چشم‌خوری و شکسته‌سبز در محدوده کالک‌آلکالن پیشنهادی Gamble و McCulloch (1991) جای گرفته‌اند و از روند گوشه‌تهای متاسوماتیسم شده پیروی می‌کند (شکل ۱۱-۱۱B). نسبت بالای Th/Yb چه‌بسا ویژگی خاستگاهی باشد که در پی غنی‌شدگی فرورانش و یا غنی‌شدگی وابسته به آلایش پوسته، یا هر دو فراینده، دچار متاسوماتیسم شده است (Gencalioglu Kuscu and Geneli, 2010). عناصر LREE, مانند La, Ce, Pr, Nd, La, Ce, در سیال‌ها تحرک پذیری بالایی ندارند؛ اما رسوب‌ها از این عناصر غنی‌شدگی هستند (Elliott *et al.*, 1997). سیال آبدار جداسده از صفحه فرورونده می‌تواند برخی عناصر ناسازگار را از پوسته فرورانده

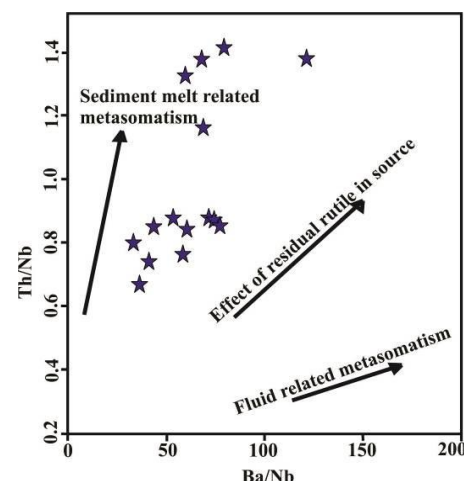
روندهای FC و AFC در این نمودار نشان دهنده دخالت فرایندهای آلایش پوسته‌ای در سنگزایی مagma مادر سنگ‌های آتشفسانی در منطقه شکسته‌ساز است.



شکل ۱۳- نمودار Th/Yb در برابر Ta/Yb (Pearce, 1983) برای سنگ‌های آتشفسانی منطقه شکسته‌ساز (خاور ایران).

پیش، 0.7051 ± 0.7059 است. بر پایه مقدار $^{87}\text{Sr}/^{86}\text{Sr}$ اولیه که برای سنگ‌های آندزیتی کمتر از 0.7060 است، خاستگاه magma از ذوب‌بخشی گوءه گوشه‌های است. برای سنگ‌های داسیتی مقدار $^{87}\text{Sr}/^{86}\text{Sr}$ اولیه بیشتر از 0.7060 ± 0.7059 است که نشان می‌دهد نمونه‌ها در محدوده ایزوتوبی magma پنهان فرورانش و متمایل به محیط magma برگرفته از پوسته هستند.

بیشترین نقش را دارد و نمونه‌ها در راستای این روند جای گرفته‌اند (شکل ۱۲). برای بررسی تأثیر فرایندهای AFC، نمودار Th/Yb در برابر Ta/Yb (Pearce, 1983) به کار برده می‌شود (شکل ۱۳) به کار برده می‌شود (Pearce, 1983).



شکل ۱۲- نمودار Th/Nb در برابر Ba/Nb (Ersoy et al., 2010) برای سنگ‌های آتشفسانی چشم‌های خوری (خاور ایران).

ایزوتوب‌های Rb-Sr

مقدار Rb-Sr اولیه در منطقه چشم‌های خوری با تجزیه نمونه سنگ‌کل و بر پایه سن به دست آمده به روش Rb-Sr در جدول ۲ آورده شده است ($^{87}\text{Sr}/^{86}\text{Sr}$). نسبت ایزوتوب اولیه برای گدازه‌های داسیتی با توجه به سن $43/6$ میلیون سال پیش، 0.7060 ± 0.7059 است. این مقدار برای واحد آندزیتی با سن 39 میلیون سال

جدول ۲-داده‌های ایزوتوبی Rb-Sr برای سنگ‌های آتشفسانی منطقه چشم‌های خوری (خاور ایران) (Lotfi, 1982)

Sample No.	Rock Type	Age (Ma)	Rb (ppm)	Sr (ppm)	$^{87}\text{Rb}/^{86}\text{Sr}$	$(^{87}\text{Sr}/^{86}\text{Sr})_{\text{m}}$	$(^{87}\text{Sr}/^{86}\text{Sr})_{\text{i}}$
236	Dacite	43.6	128.4	330.3	1.1258	0.70724	0.7065
235	Dacite	-	126.2	274.6	1.3226	0.70708	0.7063
317A	Dacite	-	141	314.9	1.2971	0.70825	0.7075
496A	Dacite	-	98	353.8	0.8024	0.70644	0.7060
203	Andesite	39	80.4	2725	0.0855	0.70553	0.7055
193	Andesite	-	88.3	665.7	0.3841	0.70613	0.7059
206	Andesite	-	83.8	717.6	0.3380	0.70524	0.7051

است. برای سنگ‌های داسیتی، $^{87}\text{Sr}/^{86}\text{Sr}$ اولیه بیشتر از 70.60 ± 0 است. ویژگی‌های زمین‌شیمی این سنگ‌های نشان می‌دهد که آنها در پهنه فرورانش پدید آمده‌اند. این سنگ‌های نشان می‌دهند که آنها در پهنه فرورانش پدید آمده‌اند. ماغماهای آنها از ذوب‌بخشی گوشته غنی‌شده ریشه گرفته و سپس در هنگام تفرق، دچار آلودگی پوسته‌ای شده است.

-۲- سنگ‌های آتشفشارانی تراکی‌آنذیتی در منطقه شکسته‌سبز گسترش یافته است. این سنگ‌ها دارای نسبت بالای $\text{FeO}^*/(\text{FeO}^* + \text{MgO})$ (0.41 ± 0.08 ppm)، $\text{K}_2\text{O}/\text{Na}_2\text{O}$ (0.10 ± 0.01 ppm)، مقادیر بالای $\text{Nb}, \text{Ce} > 100$ ppm، $\text{Y} > 39$ ppm، $\text{Zr} > 36$ ppm) ($\text{Ga} < 14/3$ ppm)، غنی‌شده‌ی Ta ($17/7$ ppm) ($16/6$ ppm)، غنی‌شده‌ی REE (به ویژه LREE)، و تهی‌شده‌ی Eu هستند. در نمودار بهنجار شده به ترکیب میانگین Nb, Zr ، مانند $\text{Hf}, \text{Ta}, \text{Y}, \text{Ga}$ و Sr دیده می‌شود. نمونه‌های تراکی‌آنذیتی منطقه شکسته‌سبز در محدوده آتشفشارانی‌های پس از برخورد جای گرفته‌اند. از این‌رو، سنگ‌های آتشفشارانی چشم‌خوری و شکسته‌سبز دارای وابستگی زمین‌ساختی و ماغماهای با هم‌دیگر هستند. سنگ‌های آتشفشارانی چشم‌خوری وابسته به پهنه فرورانش حاشیه قاره هستند و تراکی‌آنذیت‌های شکسته‌سبز در پی فعالیت‌های زمین‌ساختی یک پهنه کششی پس از برخورد پدید آمده‌اند.

سپاس‌گزاری

این پژوهش با پشتیبانی مالی دانشگاه فردوسی مشهد و در ارتباط با طرح پژوهشی شماره $۲۲۷۳۱/۳$ انجام شده است. نگارنده‌گان از شرکت طیف کانساران بین‌الود مشهد برای انجام تجزیه شیمیایی XRF سپاس‌گزارند.

کانی‌شناسی و زمین‌شیمی این سنگ‌های نشان می‌دهد که آنها در پهنه فرورانش پدید آمده‌اند. از این‌رو، ماغماهای آنها از ذوب‌بخشی گوشته غنی‌شده ریشه گرفته و سپس در هنگام جداش، دچار آلودگی پوسته‌ای شده است. همچنین، مقدار نسبت $^{87}\text{Sr}/^{86}\text{Sr}$ اولیه از سنگ‌های داسیتی به‌سوی سنگ‌های آندزیتی با کاهش سن، از 70.7 ± 0.55 به 70.55 ± 0 کاهش می‌یابد (جدول ۲).

نتیجه‌گیری

در دو منطقه چشم‌خوری و شکسته‌سبز با فاصله ۱۲ کیلومتر از یکدیگر، دو نوع ماغماتیسم مختلف دیده می‌شود:

۱- سنگ‌های آتشفشارانی داسیت، آندزیت، تراکی‌آنذیت و آندزیت‌بازالتی در منطقه چشم‌خوری گسترش یافته‌اند. بر پایه Gill (۱۹۸۹)، Pearce (۱۹۸۱)، Wilson (۱۹۸۳) و Rollinson (۱۹۹۳) در LILE در برابر HREE و غنی‌شده‌ی از عناصر HFSE شواهد مهمی هستند که نشان می‌دهند این سنگ‌ها در پهنه ماغماهای فرورانش پدید آمده‌اند. آتشفشارانی‌های محدوده چشم‌خوری وابسته به حاشیه قاره‌ای فعال هستند و ماغماهای مادر آنها در پی ذوب‌بخشی خاستگاه گوشته غنی‌شده پدید آمده است. با توجه به ویژگی‌های زمین‌شیمیایی می‌توان چنین برداشت کرد که در باره خاستگاه نمونه‌های بررسی شده، متاسوماتیسم وابسته به رسوب‌های صفحه فرورونده، بالاترین نقش را در میان اجزای فرورانشی داشته است. از آنجایی که مقدار $^{87}\text{Sr}/^{86}\text{Sr}$ اولیه برای آندزیت‌ها کمتر از 70.60 ± 0 است، خاستگاه ماغما از ذوب‌بخشی گوئه گوشته‌ای

منابع

- Abbasi Niazabadi, H. (2010) Studies of economic geology on Fe and Cu mineralization in north of Khur area. M.Sc. thesis, University of Payam Noor of Tabriz, Tabriz, Iran (in Persian).
- Arjmandzadeh, R., Karimpour, M. H., Mazaheri, S. A., Santos, J. F., Medina, J. M. and Homam, S. M. (2011) Sr-Nd isotope geochemistry and petrogenesis of the Chah-Shaljami granitoids (Lut block, eastern Iran). *Journal of Asian Earth Sciences* 41(3): 283-296.
- Barker, D. S. (1983) Igneous rocks. Prentice Hall, Upper Saddle River, New Jersey.
- Boynton, W. V. (1984) Cosmochemistry of rare earth elements: meteorite studies. In: Rare earth element geochemistry (Ed. Henderson, P.) 2: 63-114. Developments in Geochemistry, Elsevier, Amsterdam.
- Edwards, C. M., Menzies, M. A., Thirlwall, M. F., Morris, J. D., Leeman, W. P. and Harmon, R. S. (1994) The transition to potassic alkaline volcanism in island arcs: the Ringgit-Beser complex, east Java, Indonesia. *Petrology* 35(6): 1557-1595.
- Elliott, T., Plank, T., Zindler, A., White, W. and Bourdon, B. (1997) Element transport from slab to volcanic front at the Mariana arc. *Journal of Geophysical Research* 102(B7): 14991-15019.
- Ersoy, E. Y., Helvacı, C. and Palmer, M. R. (2010) Mantle source characteristics and melting models for the early-middle Miocene mafic volcanism in western Anatolia: implications for enrichment processes of mantle lithosphere and origin of K-rich volcanism in post-collisional settings. *Journal of Volcanology and Geothermal Research* 198(1-2): 112-128.
- Fan, W., Gue, F., Wang, Y. J. and Lin, G. (2003) Late Mesozoic calc-alkaline volcanism of postorogenic extention in the northern Da Hinggan mountains, northeastern China. *Journal of Volcanology and Geothermal Research* 121: 115-135.
- Gencalioglu Kuscu, G. and Geneli, F. (2010) Review of post-collisional volcanism in the Central Anatolian volcanic province (Turkey), with special reference to the Tepekoval volcanic complex, international. *Journal of Earth Sciences* 99(3): 593-621.
- Gill, J. B. (1981) Orogenic andesites and plate tectonics. Springer, New York.
- Gill, R. (2010) Igneous rocks and processes, Wiley-Blackwell, Hoboken, New Jersey.
- Gust, D. A., Arculus R. A. and Kersting A. B. (1997) Aspects of magma sources and processes in the Honshu arc. *The Canadian Mineralogist* 35(2): 347-365.
- Hamooni, s. J., Karimpour, M. H., Malekzadeh Shafaroudi, A. and Hajimirzajan, H. (2013) Geology, mineralization, geochemistry and petrology of intrusions of the Roud Gaz prospect area southeast of Gonabad. *Petrology* 4(15): 77-96 (in Persian).
- Hashemi, S. M., Emami, M., Vossough Abedini, M., Pourmoafi, M. and Ghorbani, M. (2007) Petrology of Quaternary basalts of Tabas (east of Iran). *Geosciences* 68: 26-39 (in Persian).
- Hastie, A. R., Kerr, A. C., Pearce, J. A. and Mitchell, S. F. (2007) Classification of altered volcanic island arc rocks using immobile trace elements: development of the Th-Co discrimination diagram. *Petrology* 48(12): 2341-2357.
- Helvacı, C., Ersoy, E. Y., Sözbilir, H., Erkül, F., Sümer, Ö. and Uzel, B. (2009) Geochemistry and $^{40}\text{Ar}/^{39}\text{Ar}$ geochronology of Miocene volcanic rocks from the Karaburun Peninsula: Implications for amphibole-bearing lithospheric mantle source, western Anatolia. *Volcanology and Geothermal Research* 185(3): 181-202.

- Hermann, J., Spandler, C., Hack, A. and Korsakov, A. V. (2006) Aqueous fluids and hydrous melts in high-pressure and ultra-high pressure rocks: implications for element transfer in subduction zones. *Lithos* 92(3): 399-417.
- Jamie, A. R. (2007) Semi-detailed exploration of minerals in Sarayan county, Mineral industries research and development company, Pars Kani, Birjand (in Persian).
- Jamie, A. R. (2008) Detailed exploration of minerals in Sarayan County, Industry, mining and trade organization of South Khorasan province, Birjand (in Persian).
- Javidi Moghaddam, M., Karimpour, M. H., Malekzadeh Shafaroudi, A. and Heidariane Shahri, M. R. (2014) Geology, alteration, mineralization and geochemistry of Shekaste Sabz area prospect, north west of Birjand. *Iranian Journal of crystallography and mineralogy* 22(3): 507-520 (in Persian).
- Jung, D., Keller, J., Khorasani, R., Marcks, Chr., Baumann, A. and Horn, P. (1983) Petrology of the Tertiary magmatic activity the northern Lut area, East of Iran. Geodynamic project (Geotraverse) in Iran. Geological Survey of Iran, Report no. 1: 285-336.
- Karimpour, M. H. (2010) Geochemistry, Igneous petrology and magmatic ore deposits. Ferdowsi University of Mashhad, Mashhad (in Persian).
- Karimpour, M. H., Stern, C. R., Farmer, L., Saadat, S. and Malekezadeh, A. (2011) Review of age, Rb-Sr geochemistry and petrogenesis of Jurassic to Quaternary igneous rocks in Lut Block, Eastern Iran. *Geopersia* 1(1): 19-36.
- Kaviani Sadr, Kh. (2012) Effect of structural controllers on ore mineral deposits in Cheshme Khuri area (Northwest of Birjand). M.Sc. thesis, Birjand University, Birjand, Iran (in Persian).
- Kretz, R. (1983) Symbols for rock-forming minerals. *American Mineralogist* 68(1-2): 277-279.
- Lotfi, M. (1982) Geological and geochemical investigations on the volcanogenic Cu, Pb, Zn, Sb ore-mineralizations in the Shurab-GaleChah and northwest of Khur (Lut, east of Iran). Ph.D. thesis, Hamburg Universitat, Hamburg, Germany.
- Lotfi, M. (1995) Explanatory text of Sarghanj. Geological Quadrangle Map 1:100,000, No. 7756, Geological Survey of Iran, Tehran.
- Malekzadeh Shafaroudi, A., Karimpour, M. H. and Esfandiarpour, A. (2014) Petrography and petrogenesis of intrusive rocks in the northeast of Nayband, east of Iran. *Petrology* 4(16): 105-124 (in Persian).
- Malekzadeh Shafaroudi, A., Karimpour, M. H. and Stern, C. R. (2012) Zircon U-Pb dating of Maherabad porphyry copper-gold prospect area: evidence for a late Eocene porphyry-related metallogenetic epoch in east of Iran. *Economic Geology* 3(1): 41-60 (in Persian).
- McCulloch, M. T. and Gamble, J. A. (1991) Geochemical and geodynamical constraints on subduction zone magmatism. *Earth and Planetary Science Letters* 102(3): 358-374.
- Middlemost, E. A. K. (1994) Naming materials in the magma /igneous rock system. *Earth-Science Reviews* 37(3-4): 215-224.
- Mir Baloch, A. (2012) Geology, mineralization, geochemistry and processing of satellite images in east of Cheshme Khuri area, Birjand. M.Sc. thesis, Ferdowsi University of Mashhad, Mashhad, Iran (in Persian).
- Moradi Noghondar, M., Karimpour, M. H., Malekzadeh Shafaroudi, A., Farmer, G. L. and Stern, C. R. (2012) Geochemistry, zircon U-Pb geochronology and Rb-Sr and Sm-Nd isotopes of Najmabad monzonitic rocks south of Ghonabad. *Petrology* 3(11): 77-96 (in Persian).

- Muller, D. and Groves, D. I. (1997) Potassic igneous rocks and associated gold-copper mineralization. Springer-Verlag, Berlin.
- Pearce, J. A. (1983) Role of the sub-continental lithosphere in magma genesis at active continental margins. In: Continental basalts and mantle xenoliths (Eds. Hawkesworth, C. J. and Norry, M. J.) 230-249. Shiva, Nantwich.
- Pearce, T. H., Russell, J. K. and Wolfson, I. (1987) Laser-interference and normarski interference imaging of zoning profiles in plagioclase phenocrysts from the May 18, 1980, eruption of Mount St. Helens, Washington. *American Mineralogist* 72 (11-12): 1131-1143.
- Peccerillo, A. and Taylor, S. R. (1976) Geochemistry of Eocene calc-alkaline volcanic rocks from the Kastamonu area, northern Turkey. *Contributions to Mineralogy and Petrology* 58 (1): 63-81.
- Raymond, L. A. (2002) The study of igneous sedimentary and metamorphic rocks. 2nd edition, McGraw-Hill, New York.
- Rollinson, H. (1993) Using geochemical data: evolution, presentation, interpretation. Longman Scientific and Technical, London.
- Rutherford, M. J. and Devine, A. D. (2003) Magmatic conditions and magma ascent as indicated by Hornblende phase equilibria and reaction in the 1995-2002, Soufriere Hills Magma. *Petrology* 44(8): 1433-1484.
- Ryerson F. J. and Watson, E. B. (1987) Rutile saturation in magmas: implications for Ti-Nb-Ta depletion in island-arc basalts. *Earth and Planetary Science Letters* 86(2-4): 225-239.
- Salim, L. (2012) Geology, petrology and geochemistry of volcanic and sub volcanic rocks in Cheshme Khuri area (North west of Birjand). M.Sc. thesis, Birjand University, Birjand, Iran (in Persian).
- Schandl, E. S. and Gorton, M. P. (2000) From continents to island arcs: A geochemical index of tectonic setting for arc-related and within-plate felsic to intermediate volcanic rocks. *The Canadian Mineralogist* 38 (5): 1065-1073.
- Siddiqui, R. H., Asif Khan, M. and Qasim Jan, M. (2007) Geochemistry and petrogenesis of the Miocene alkaline and sub-alkaline volcanic rocks from the Chagai arc, Baluchistan, Pakistan: Implications for porphyry Cu-Mo-Au deposits. *Himalayan Earth Sciences* 40: 1-23.
- Stocklin, J. and Nabavi, M. H. (1969) Explanatory text of Boshruyeh. Geological Quadrangle Map 1:250,000, No. 37, Geological Survey of Iran, Tehran.
- Sun, S. S. and Mc Donough, W. F. (1989) Chemical and isotopic systematics of oceanic basalts; implications for mantle composition and processes. In: *Magmatism in the ocean basins* (Eds. Saunders, A. D. and Norry, M. J.) Special Publications 42: 313-345. Geological Society, London.
- Tarkian, M., Lotfi M. and Baumann, A. (1983) Tectonic, magmatism and the formation of mineral deposits in the central Lut, east Iran, Ministry of mines and metals, GSI, geodynamic project (geotraverse) in Iran 51: 357-383.
- Taylor, S. R. and McLennan, S. M. (1985) The continental crust, its composition and evolution, an examination of the geochemical record preserved in sedimentary rocks. Blackwell, Oxford.
- Tepper, J.H., Nelson, B.K., Bergantz, G.W. and Irving, A.J. (1993) Petrology of the Chilliwack pluton, North Cascades, Washington: generation of calc-alkaline granitoids by melting of mafic lower crust with variable water fugacity. *Contributions to Mineralogy and Petrology* 113 (3): 333-351.
- Walker, J. A., Patino, L. C., Carr, M. J. and Feigenson, M. D. (2001) Slab control over HFSE depletions in central Nicaragua. *Earth and Planetary Science Letters* 192 (4): 533-543.

- Weaver, B. L. and Tarney, J. (1984) Empirical approach to estimating the composition of the continental crust. *Nature* 310 (5978): 575-577.
- Wilson, M. (1989) Igneous petrogenesis. Unwin Hyman, London.
- Winchester, J. A. and Floyd, P. A. (1977) Geochemical discrimination of different magma series and their differentiation prototextures and setting of VMS mineralization in the Pilbara ducts using immobile elements. *Chemistry Geology* 20: 325-344.
- Wu, F. Y., Jahn, B. M., Wilde, S. A., Lo, C. H., Yui, T. F., Lin, Q., Ge, W. C. and Sun, D. Y. (2003) Highly fractionated I-type granites in China (I): geochronology and petrogenesis. *Lithos* 66 (3-4): 241-273.
- Ya Hosseini, A. (2012) Geology, mineralization and geochemistry with special reference on industrial applications clay deposits in west of Cheshme Khuri area, Birjand. M.Sc. thesis, Ferdowsi University of Mashhad, Mashhad, Iran (in Persian).
- Zaravandi, A., Pourkaseb, H., Saki, A. and Karevani, M. (2013) Investigation of petrology and geochemistry of volcanic rocks in the Kasian area, northeast of Khorramabad. *Petrology* 4(14): 39-50 (in Persian).

Petrology and geochemistry of volcanic rocks of Cheshmeh Khuri and Shekasteh Sabz areas, Khur, northwest of Birjand

Maryam Javidi Moghaddam ¹, Mohammad Hassan Karimpour ^{2*}, Khosrow Ebrahimi Nasrabadi ², Azade Malekzadeh Shafaroudi ² and Mohammad Reza Haidarian Shahri ²

¹ Department of Geology, Faculty of Sciences, Ferdowsi University of Mashhad, Mashhad, Iran

² Research Center for Ore Deposits of Eastern Iran, Ferdowsi University of Mashhad, Mashhad, Iran

Abstract

Khur area is located in east of Iran and northwest of Birjand. The area comprises outcrops of Eocene to Oligocene volcanics with basaltic andesite to rhyolite composition, which were intruded by subvolcanic and intrusive bodies of granodiorite to gabbro. In the present work, petrogenesis of volcanic units in Cheshmeh Khuri and Shekasteh Sabz areas was studied, which are located in Khur area and these volcanics have most widespread in them. Rhyolite, dacite, andesite, trachyandesite and basaltic andesite units in Cheshmeh Khuri and trachyandesite unit in Shekasteh Sabz were identified. The main textures of these units are porphyritic, hialoporphyritic and microlitic and plagioclase, pyroxene, K-feldspar, hornblende, biotite and quartz are the main minerals. Volcanic units of Cheshmeh Khuri have characteristic of high-K Calc-alkaline. Enrichment of LREE relative to HREE and LILE to HFSE are important evidences that magma was formed in a magmatic belt of a subduction zone. Based on the initial $^{87}\text{Sr}/^{86}\text{Sr}$ of andesite and dacite, their magma has originated from partial melting of an enriched mantle and contaminated with the crust through its differentiation. Trachyandesites of Shekaste Sabz have characteristic of shoshonitic nature. These units are characterized by high FeOt/FeOt+MgO, K₂O/Na₂O and Zr>360 ppm, Y>39 ppm, and Ce> 100 ppm. Also, they are enrichment in REE particularly in LREE, depletion of Eu, strong enrichment in HFSE, and depletion in Ba and Sr. Therefore, trachyandesites of Shekaste Sabz belong to post collision volcanics.

Key words: Geochemistry, Subduction zone, Extension zone, Cheshmeh Khuri, Shekasteh Sabz, north of Lut block

* karimpur@um.ac.ir